

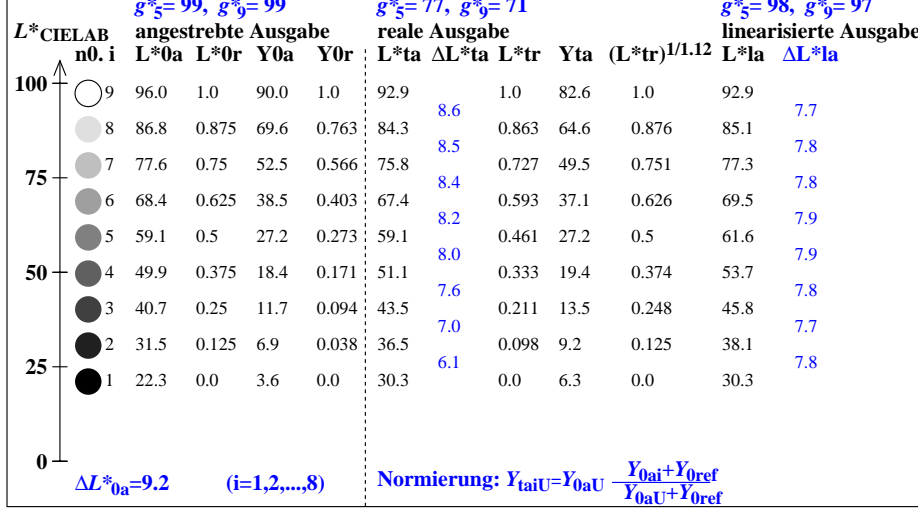
9stufige Grauskalierung zwischen $L^*_{0aN}=22.3$ und $L^*_{0aW}=95.9$, $Y_{0ref}=3.6$, Normierung Grau U

$L^*_{0aN}=22.3$, $L^*_{0aU}=59.1$, $L^*_{0aW}=96.0$, $Y_{0aN}=3.6$, $Y_{0aU}=27.2$, $Y_{0aW}=90.0$, $C_{0aY}=Y_{0aW}:Y_{0aN}=25.0$

$L^*_{taN}=30.3$, $L^*_{taU}=59.1$, $L^*_{taW}=92.9$, $Y_{taN}=6.3$, $Y_{taU}=27.2$, $Y_{taW}=82.6$, $C_{taY}=Y_{taW}:Y_{taN}=13.0$

Regularitätsindex nach ISO/IEC 15775:2022, Anhang G für 5 und 9 Stufen

$g^* = 100 [\Delta L^*_{min}] / [\Delta L^*_{max}]$, $L^*_{CIELAB} = 116 [Y/Y_n]^{1/3} - 16$ mit $Y >= 0,882$, $Y_n=100$



eek10-3n

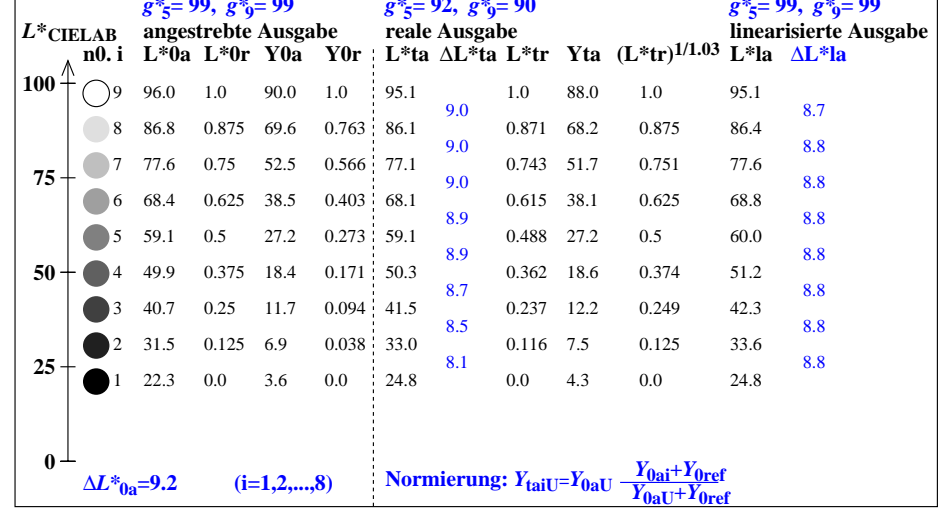
9stufige Grauskalierung zwischen $L^*_{0aN}=22.3$ und $L^*_{0aW}=95.9$, $Y_{0ref}=0.9$, Normierung Grau U

$L^*_{0aN}=22.3$, $L^*_{0aU}=59.1$, $L^*_{0aW}=96.0$, $Y_{0aN}=3.6$, $Y_{0aU}=27.2$, $Y_{0aW}=90.0$, $C_{0aY}=Y_{0aW}:Y_{0aN}=25.0$

$L^*_{taN}=24.8$, $L^*_{taU}=59.1$, $L^*_{taW}=95.1$, $Y_{taN}=4.3$, $Y_{taU}=27.2$, $Y_{taW}=88.0$, $C_{taY}=Y_{taW}:Y_{taN}=20.2$

Regularitätsindex nach ISO/IEC 15775:2022, Anhang G für 5 und 9 Stufen

$g^* = 100 [\Delta L^*_{min}] / [\Delta L^*_{max}]$, $L^*_{CIELAB} = 116 [Y/Y_n]^{1/3} - 16$ mit $Y >= 0,882$, $Y_n=100$



eek11-3n

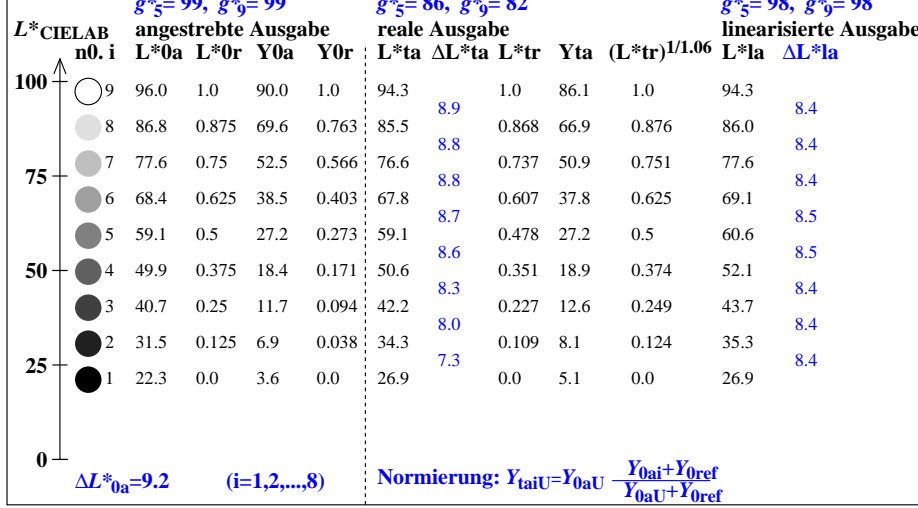
9stufige Grauskalierung zwischen $L^*_{0aN}=22.3$ und $L^*_{0aW}=95.9$, $Y_{0ref}=1.8$, Normierung Grau U

$L^*_{0aN}=22.3$, $L^*_{0aU}=59.1$, $L^*_{0aW}=96.0$, $Y_{0aN}=3.6$, $Y_{0aU}=27.2$, $Y_{0aW}=90.0$, $C_{0aY}=Y_{0aW}:Y_{0aN}=25.0$

$L^*_{taN}=26.9$, $L^*_{taU}=59.1$, $L^*_{taW}=94.3$, $Y_{taN}=5.1$, $Y_{taU}=27.2$, $Y_{taW}=86.1$, $C_{taY}=Y_{taW}:Y_{taN}=17.0$

Regularitätsindex nach ISO/IEC 15775:2022, Anhang G für 5 und 9 Stufen

$g^* = 100 [\Delta L^*_{min}] / [\Delta L^*_{max}]$, $L^*_{CIELAB} = 116 [Y/Y_n]^{1/3} - 16$ mit $Y >= 0,882$, $Y_n=100$



eek10-7n

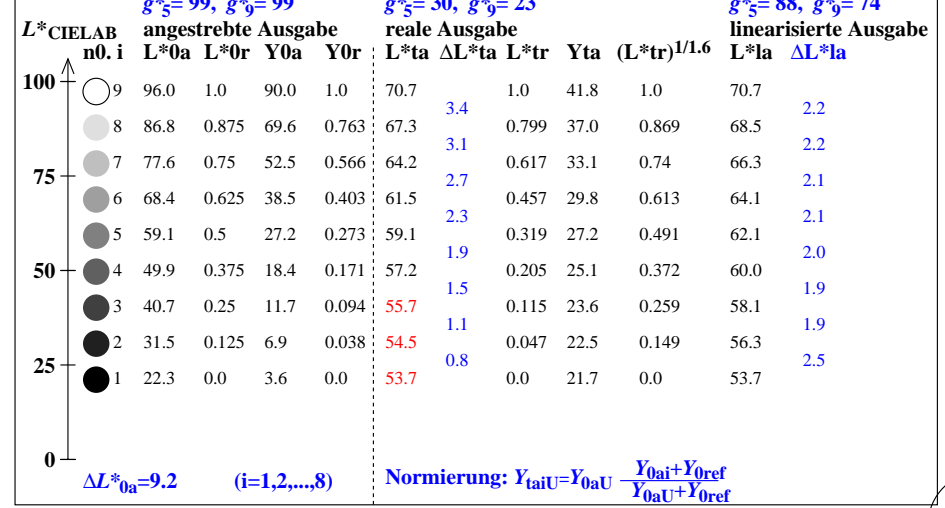
9stufige Grauskalierung zwischen $L^*_{0aN}=22.3$ und $L^*_{0aW}=95.9$, $Y_{0ref}=90.0$, Normierung Grau U

$L^*_{0aN}=22.3$, $L^*_{0aU}=59.1$, $L^*_{0aW}=96.0$, $Y_{0aN}=3.6$, $Y_{0aU}=27.2$, $Y_{0aW}=90.0$, $C_{0aY}=Y_{0aW}:Y_{0aN}=25.0$

$L^*_{taN}=53.7$, $L^*_{taU}=59.1$, $L^*_{taW}=70.7$, $Y_{taN}=21.7$, $Y_{taU}=27.2$, $Y_{taW}=41.8$, $C_{taY}=Y_{taW}:Y_{taN}=1.9$

Regularitätsindex nach ISO/IEC 15775:2022, Anhang G für 5 und 9 Stufen

$g^* = 100 [\Delta L^*_{min}] / [\Delta L^*_{max}]$, $L^*_{CIELAB} = 116 [Y/Y_n]^{1/3} - 16$ mit $Y >= 0,882$, $Y_n=100$



eek11-7n

Siehe ähnliche Dateien der ganzen Serie: http://farbe.li.tu-berlin.de/eeks.htm
Technische Information: http://farbe.li.tu-berlin.de oder http://color.li.tu-berlin.de

TUB-Registrierung: 20230701-eek1/eek110np.pdf /.ps
Anwendung für Beurteilung und Messung von Display- oder Druck-Ausgabe
TUB-Material: Code=rh4ta